



Министерство науки и высшего образования Российской Федерации  
федеральное государственное бюджетное образовательное учреждение  
высшего профессионального образования  
«Московский государственный технический университет имени  
Н.Э. Баумана (национальный исследовательский университет)»  
(МГТУ им. Н.Э. Баумана)

ФАКУЛЬТЕТ «Робототехники и комплексной автоматизации»  
КАФЕДРА «Системы автоматизированного проектирования (РК-6)»

## ОТЧЕТ О ВЫПОЛНЕНИИ ЛАБОРАТОРНОЙ РАБОТЫ по дисциплине «Модели и методы анализа проектных решений»

Студент:	Кильдишев Петр Степанович
Группа:	РК6-66Б
Тип задания:	Лабораторная работа
Тема:	Метод конечных разностей

Студент

\_\_\_\_\_  
подпись, дата

Кильдишев П.С.  
\_\_\_\_\_  
Фамилия, И.О.

Преподаватель

\_\_\_\_\_  
подпись, дата

\_\_\_\_\_  
Фамилия, И.О.

Москва, 2023

## Содержание

<b>Метод конечных разностей</b>	<b>3</b>
1    Задание . . . . .	3
2    Цель выполнения лабораторной работы . . . . .	6
3    Теоретическое описание метода конечной разности . . . . .	6
4    Описание структуры программы . . . . .	9
5    Результат работы программы . . . . .	12
6    Заключение . . . . .	15

# Метод конечных разностей

## 1 Задание

Метод конечных разностей объединяет целый класс численных методов для решения дифференциальных уравнений путём аппроксимации производных.

В данной задаче необходимо найти распределение температуры в двумерной области (пластине)  $\Omega^1$ , представленной на рис. 1. Пластина изготовлена из однородного материала. Единицы измерения: время – секунды (сек.), пространство – миллиметры (мм), температура – градусы Цельсия ( $^{\circ}\text{C}$ ).

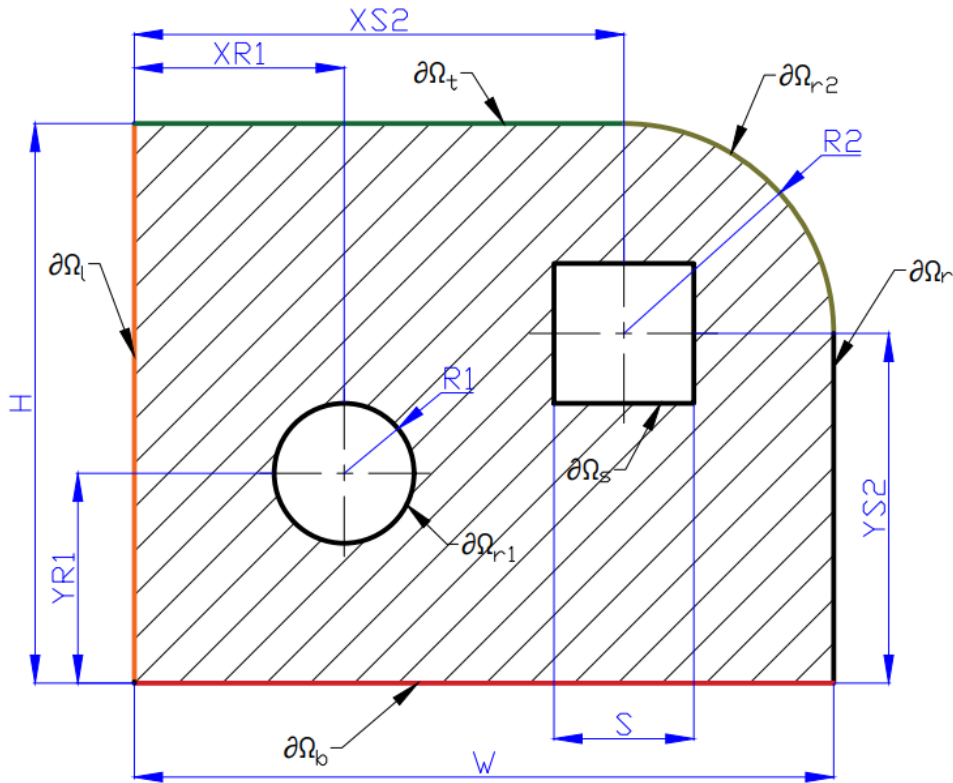


Рис. 1. Чертёж расчётной области пластины  $\Omega$

Основные размеры пластины:  $H = 400$  мм,  $W = 500$  мм,  $R2 = 150$  мм, сторона квадратного отверстия  $S = 100$  мм, радиус круглого отверстия  $R1 = 50$  мм. В каждом варианте задания пластина имеет лишь одно отверстие из двух изображенных на рис. 1. Тип отверстия определяется в соответствии с параметром  $\gamma_1 \in \Gamma_1 = \{\partial\Omega_{r1}, \partial\Omega_s\}$ . Координаты центра отверстия  $(XR1, YR1)$  или  $(XS2, YS2)$  определяются параметром  $\gamma_2 \in \Gamma_2 = \{(155, 155), (155, 255), (355, 255), (355, 155), (255, 205)\}$ .

<sup>1</sup> $\Omega$  – область пластины, не включая её границу,  $\bar{\Omega} = \Omega \cup \partial\Omega$  – область пластины, включая её границу  $\partial\Omega$ ,  $\Omega_{near}$  – внутренняя область в  $h$ -окрестности границы  $\partial\Omega$ , где  $h$ -шаг сетки.

Пусть граница пластины  $\partial\Omega$  представлена несколькими участками (рис. 1):

$$\begin{aligned}\partial\Omega &= \partial\Omega_l \cup \partial\Omega_r \cup \partial\Omega_t \cup \partial\Omega_b \cup \partial\Omega_{r1} \cup \partial\Omega_s \cup \partial\Omega_{r2}; \\ \partial\Omega_{ex} &= \partial\Omega_l \cup \partial\Omega_r \cup \partial\Omega_t \cup \partial\Omega_b \cup \partial\Omega_{r2}, \text{ -- внешняя граница области } \Omega; \\ \partial\Omega_{in} &= \partial\Omega_s \cup \partial\Omega_{r1}, \text{ -- внутренняя граница области } \Omega.\end{aligned}$$

Узловые точки, расположенные на границах  $(x, y) \in \partial\Omega$  или их окрестности  $(x, y) \in \Omega_{near}$  требуют особого внимания, поскольку в этих областях шаг сетки неравномерный, формулы для расчёта производных можно вывести используя материалы лекций по [Вычислительной математике<sup>2</sup>](#) или [материалы БИГОР](#). Напомним, что внутренняя область пластины обозначена просто  $\Omega$  и рассматривается двумерная постановка задачи. Известно, что температура  $T$  в точке с координатами  $(x, y) \in \Omega$  в момент времени  $t$  есть отображение  $T: \mathbb{R} \times \mathbb{R}_+ \rightarrow \mathbb{R}$ , которое вычисляется в результате решения дифференциального уравнения теплопроводности:

$$T_t = \Delta T, \quad (x, y) \in \Omega, \quad t \geq 0, \quad T = T(x, y, t), \quad (1)$$

где  $\Delta$  – оператор Лапласа, т.е.  $\Delta T = T_x + T_y$ .

Начальное значение температуры (IC) для всех вариантов имеет вид:

$$T|_{t=0} = 0, \quad (x, y) \in \Omega. \quad (2)$$

При этом, граничные условия (BC) для сторон пластины  $\partial\Omega_x$  будут иметь различный вид:

$$T|_{(x,y) \in \partial\Omega_x} = 100 \text{ -- BC 1-о рода, задает источник нагрева;} \quad (3)$$

$$\nabla_{\bar{n}} T|_{(x,y) \in \partial\Omega_x} = 0 \text{ -- BC 3-о рода, теплоизоляция,} \quad (4)$$

где  $\nabla_{\bar{n}} T = T \bar{n} = \nabla_{x,y} T \cdot \bar{n}$  – градиент температуры вдоль внешней нормали  $\bar{n}$  к  $\partial\Omega_x$ ;

$$\nabla_{\bar{n}} T|_{(x,y) \in \partial\Omega_x} = T \text{ -- BC 3-о рода, для конвективного теплообмена на границе } \partial\Omega_x. \quad (5)$$

Физический смысл BC 1-о рода может означать, например, соприкосновение стороны поверхности  $\partial\Omega_x$ , если рассматривать пластину как сечение тела, с некоторой средой высокой температуры (100 С°). Соответствие  $\partial\Omega_x$  конкретному BC задает параметр

$\gamma_3 \in \Gamma_3 = \{1, 2, 3, 4, 5, 6, 7, 8, 9, 10, 11, 12, 13\}$ , исходя из таблицы 1.

Требуется (базовая часть):

1 Определить форму пластины и BC в соответствии с  $\Gamma_i[\gamma_i]$ ,  $\forall i \in [1 : 3]$ .

---

<sup>2</sup>Глава «Метод разложения функции в ряд Тейлора»

Таблица 1. Варианты граничных условий в зависимости от  $\gamma_3$ 

	«нагрев» (3)	«теплоизоляция» (4)	«конвекция» (5)
$\gamma_3 = 1$	$\partial\Omega_{ex}$	$\emptyset$	$\partial\Omega_{in}$
$\gamma_3 = 2$	$\partial\Omega_{in}$	$\emptyset$	$\partial\Omega_{ex}$
$\gamma_3 = 3$	$\partial\Omega_l$	$\partial\Omega_{in} \cup \partial\Omega_t \cup \partial\Omega_b$	$\partial\Omega_r$
$\gamma_3 = 4$	$\partial\Omega_r$	$\partial\Omega_{in} \cup \partial\Omega_t \cup \partial\Omega_b$	$\partial\Omega_l$
$\gamma_3 = 5$	$\partial\Omega_t$	$\partial\Omega_{in} \cup \partial\Omega_l \cup \partial\Omega_r$	$\partial\Omega_b$
$\gamma_3 = 6$	$\partial\Omega_b$	$\partial\Omega_{in} \cup \partial\Omega_l \cup \partial\Omega_r$	$\partial\Omega_t$
$\gamma_3 = 7$	$\partial\Omega_l \cup \partial\Omega_r$	$\partial\Omega_{in}$	$\partial\Omega_t \cup \partial\Omega_b$
$\gamma_3 = 8$	$\partial\Omega_l \cup \partial\Omega_r \cup \partial\Omega_{in}$	$\emptyset$	$\partial\Omega_t \cup \partial\Omega_b$
$\gamma_3 = 9$	$\partial\Omega_t \cup \partial\Omega_b$	$\partial\Omega_{in}$	$\partial\Omega_l \cup \partial\Omega_r$
$\gamma_3 = 10$	$\partial\Omega_t \cup \partial\Omega_b \cup \partial\Omega_{in}$	$\emptyset$	$\partial\Omega_l \cup \partial\Omega_r$
$\gamma_3 = 11$	$\partial\Omega_l \cup \partial\Omega_r$	$\emptyset$	$\partial\Omega_t \cup \partial\Omega_b \cup \partial\Omega_{in}$
$\gamma_3 = 12$	$\partial\Omega_t \cup \partial\Omega_b$	$\emptyset$	$\partial\Omega_l \cup \partial\Omega_r \cup \partial\Omega_{in}$
$\gamma_3 = 13$	$\partial\Omega_l \cup \partial\Omega_b$	$\partial\Omega_{in}$	$\partial\Omega_t \cup \partial\Omega_r$

- 2 Задать равномерный шаг дискретизации  $h \in \{5, 10\}$ <sup>3</sup> по координатам  $x$  и  $y$ . Построить расчётную сетку на множестве  $\bar{\Omega}$  и рассчитать позиции узлов на границах.
- 3 Для каждого варианта шага  $h$  явным и неявным методом решить нестационарное уравнение теплопроводности (1) при заданных ВС, определив значения температуры в узлах сетки в диапазоне времени  $t \in (0; 100]$  сек, с шагом  $h_t = 1$  сек.
- 4 Результаты необходимо сохранить в 4-х текстовых файлах<sup>4</sup>, имя каждому следует задавать в формате согласно материалу инструкции по выполнению лабораторных работ. Содержание каждого файла с результатами расчётов должно соответствовать следующему формату:

```

t x y T
ti xj yk Tij k
...
```

- 5 Для неявного метода в отчёте должна быть приведена информация о LAS: количество неизвестных (уравнений), число ненулевых элементов матрицы.
- 6 Сравнить полученные результаты вычислений с результатом моделирования аналогичной задачи в ANSYS.

Требуется (продвинутая часть):

<sup>3</sup>Каждому значению шага  $h$  соответствует один расчет; шаг по координатам  $x$  и  $y$  одинаков.

<sup>4</sup>Рассматривается 2 шага и по 2 метода для каждого.

7. Реализовать функцию кубической интерполяции значений температуры для произвольных точек пластины  $(x, y) \in \mathbb{R}^2$  по известным значениям в узлах, в дискретные моменты времени;
8. Визуализировать результаты вычислений: функцию поля температуры  $f(t_i, x, y)$  по всей пластине в виде цветовой диаграммы в требуемый момент времени (во время защиты)<sup>5</sup>, для проверки корректности решения;

## 2 Цель выполнения лабораторной работы

Цель выполнения лабораторной работы: реализовать явный и неявный методы конечных разностей и найти с их помощью распределение температур в двумерной области пластины  $\Omega$ .

## 3 Теоретическое описание метода конечной разности

В первую очередь для реализации МКР требуется дискретизировать время и пространство. Дискретизация пространства происходит путем наложения на пластину сетки с шагом  $h$ . Начало координат сетки совпадает с левым нижним углом пластины. Ось  $X$  параллельна нижней грани пластины. Ось  $Y$  параллельна левой грани пластины. Начало отсчета производится с нуля. На пересечении вертикальных и горизонтальных "полос" сетки находятся узлы, в которых будут вычисляться значения температур. Исключением являются граничные узлы, не попадающие на сетку. Они находятся на пересечении границ пластины с одной из "полос" сетки. Количество узлов в сетке по горизонтали, считая с граничными:  $n = \frac{W}{h} + 1$ , по вертикали:  $m = \frac{H}{h} + 1$ . Время дискретизируется путем разделения задачи на шаги, в каждом из которых производится вычисление температуры во всех узлах при фиксированном времени с шагом по времени  $h_t = 1$  сек. Начальный момент времени  $t = 0$ .

Значение температуры в граничных узлах может быть записано формулой (6):

$$T_{ij}^t = \begin{cases} 100, & \text{ГУ} = (3); \\ 200, & (ih, jh) \in \Omega_{r2}; \\ T_{i+\Delta i_1, j+\Delta j_1}^t, & \text{ГУ} = (4); \\ \frac{T_{i+\Delta i_1, j+\Delta j_1}^t}{\mu h+1}, & \text{ГУ} = (5), \end{cases} \quad (6)$$

где  $i = \{0, n\}$  при  $j = 1..m - 1$ ;  $j = \{0, m\}$  при  $i = 1..n - 1$ ;  $\Delta i_1 = \begin{pmatrix} 0 \\ 1 \end{pmatrix} \bar{n}$ ,  $\Delta j_1 = \begin{pmatrix} 1 \\ 0 \end{pmatrix} \bar{n}$ ,  $\mu$  - соотношение расстояния между узлом  $(i, j)$  и  $(i + \Delta i_1, j + \Delta j_1)$  к  $h$ .

<sup>5</sup>Для визуализации рекомендуется использовать язык Python и библиотеку matplotlib.

## Явный метод конечных разностей

Формула для решения задачи явным МКР в данной задаче следующая:

$$T_{ij}^{t+1} - T_{ij}^t = 2 \frac{\mu_x T_{i+\Delta i_2, j}^t - (1 + \mu_x) T_{ij}^t + T_{i-\Delta i_2, j}^t}{\mu_x (1 + \mu_x) h^2} + 2 \frac{\mu_y T_{i, j+\Delta j_2}^t - (1 + \mu_y) T_{ij}^t + T_{i, j-\Delta j_2}^t}{\mu_y (1 + \mu_y) h^2}, \quad (7)$$

где  $i = 1..n - 1$ ,  $j = 1..m - 1$ ,  $\Delta i_2 = \begin{cases} 1, i = 1; \\ -1, i = 2..n - 1 \end{cases}$ ,  $\Delta j_2 = \begin{cases} 1, j = 1; \\ -1, j = 2..m - 1 \end{cases}$ ,  $\mu_x$  - соотношение расстояния между узлом  $(i - \Delta i_2, j)$  и  $(i, j)$  к  $h$ ,  $\mu_y$  - соотношение расстояния между узлом  $(i, j - \Delta j_2)$  и  $(i, j)$  к  $h$ . Для всех узлов, не граничащих с граничными  $\mu_x$  и  $\mu_y$  будут равны 1.

По результатам прошлого шага или по НУ на нулевом шаге вычисляются значения температуры в граничных узлах по формуле (6). Затем по полученным значениям и по значениям температур во внутренних узлах с прошлого шага вычисляются значения на новом шаге по формуле (7).

Цикл повторяется до достижения поставленного задачей времени выполнения. В таком случае значения во внутренних узлах на следующем шаге не вычисляются.

## Неявный метод конечных разностей

Для решения задачи неявным МКР применяется метод расщепления.

Первым этапом по значениям температур предыдущего шага находятся температуры  $w_{ij}^{t+1}$ , по значениям которых на втором этапе находятся температуры на новом шаге  $T_{ij}^{t+1}$ . При этом  $i = 1..n - 1$ ,  $j = 1..m - 1$ .

Формула на первом этапе следующая:

$$w_{ij}^{t+1} - T_{ij}^t = 2 \frac{\mu_x w_{i+\Delta i_2, j}^{t+1} - (1 + \mu_x) w_{ij}^{t+1} + w_{i-\Delta i_2, j}^{t+1}}{\mu_x (1 + \mu_x) h^2}, \quad (8)$$

(8) можно представить в виде:

$$-T_{ij}^t = \frac{2}{(1 + \mu_x) h^2} w_{i+\Delta i_2, j}^{t+1} + \frac{-2 - \mu_x h^2}{\mu_x h^2} w_{ij}^{t+1} + \frac{2}{\mu_x (1 + \mu_x) h^2} w_{i-\Delta i_2, j}^{t+1}, \quad (9)$$

При фиксации  $j$ , (9) можно представить в виде СЛАУ. При  $i = \{1, n - 1\}$  при этом в СЛАУ будут фигурировать ГУ. От них можно избавиться путем подстановки (6). Такая подстановка влияет либо на коэффициент перед  $T_{ij}^t$ , либо перед  $w_{ij}^{t+1}$ . Дополнительно можно подставить  $\mu_x = 1$  для  $i = 2..n - 2$ .

Результирующая СЛАУ в матричном виде:

$$\begin{bmatrix} \frac{-2-\mu_{x1}h^2}{\mu_{x1}h^2} + \Delta w_1 & \frac{2}{(1+\mu_{x1})h^2} & 0 & 0 & \dots & 0 & 0 & 0 \\ \frac{1}{h^2} & -\frac{2}{h^2} & \frac{1}{h^2} & 0 & \dots & 0 & 0 & 0 \\ 0 & \frac{1}{h^2} & -\frac{2}{h^2} & \frac{1}{h^2} & \dots & 0 & 0 & 0 \\ \vdots & \vdots & \vdots & \vdots & \ddots & \vdots & \vdots & \vdots \\ 0 & 0 & 0 & 0 & \dots & \frac{1}{h^2} & -\frac{2}{h^2} & \frac{1}{h^2} \\ 0 & 0 & 0 & 0 & \dots & 0 & \frac{2}{(1+\mu_{x2})h^2} + \Delta w_2 & \frac{-2-\mu_{x2}h^2}{\mu_{x2}h^2} \end{bmatrix} \begin{bmatrix} w_{1j}^{t+1} \\ w_{2j}^{t+1} \\ w_{3j}^{t+1} \\ \vdots \\ w_{n-2,j}^{t+1} \\ w_{n-1,j}^{t+1} \end{bmatrix} =$$

(10)

$$= \begin{bmatrix} -T_{1j}^t + \Delta T_1 \\ -T_{2j}^t \\ -T_{3j}^t \\ \vdots \\ -T_{n-2,j}^t \\ -T_{n-1,j}^t + \Delta T_2 \end{bmatrix},$$

где  $\mu_{x1}$  - отношение расстояния между узлом  $(0, j)$  и узлом  $(1, j)$  к  $h$ ;  $\mu_{x2}$  - отношение расстояния между узлом  $(n-1, j)$  и узлом  $(n, j)$  к  $h$ ;

$$\Delta w_1 = \begin{cases} 0, \text{ГУ в } (0, j) \text{ 1-го рода;} \\ \frac{2}{\mu_{x1}(1+\mu_{x1})h^2}, \text{ГУ в } (0, j) = (4); \\ \frac{2}{\mu_{x1}(1+\mu_{x1})h^2(\mu_{x1}h+1)}, \text{ГУ в } (0, j) = (5). \end{cases}, \Delta w_2 = \begin{cases} 0, \text{ГУ в } (n, j) \text{ 1-го рода;} \\ \frac{2}{\mu_{x2}(1+\mu_{x2})h^2}, \text{ГУ в } (n, j) = (4); \\ \frac{2}{\mu_{x2}(1+\mu_{x2})h^2(\mu_{x2}h+1)}, \text{ГУ в } (n, j) = (5). \end{cases}$$

$$\Delta T_1 = \begin{cases} -\frac{100}{\mu_{x1}(1+\mu_{x1})h^2}, \text{ГУ в } (0, j) : T_{ij}^{t+1} = 100; \\ -\frac{200}{\mu_{x1}(1+\mu_{x1})h^2}, \text{ГУ в } (0, j) : T_{ij}^{t+1} = 200; \\ 0, \text{в остальных случаях.} \end{cases}, \Delta T_2 = \begin{cases} -\frac{100}{\mu_{x2}(1+\mu_{x2})h^2}, \text{ГУ в } (n, j) : T_{ij}^{t+1} = 100; \\ -\frac{200}{\mu_{x2}(1+\mu_{x2})h^2}, \text{ГУ в } (n, j) : T_{ij}^{t+1} = 200; \\ 0, \text{в остальных случаях.} \end{cases}.$$

В данной СЛАУ при каждом фиксированном  $j$  по  $n-2$  неизвестные. Матрица коэффициентов содержит  $3n-2$  ненулевых элемента.

При решении СЛАУ (10) для всех  $j = 1..m-1$  получается массив значений  $w_{ij}^{t+1}$ ,  $i = 1..n-1$ . На основе него аналогичным первому этапу производится второй этап вычислений:

$$T_{ij}^{t+1} - w_{ij}^{t+1} = 2 \frac{\mu_y T_{i,j+\Delta j_2}^{t+1} - (1 + \mu_y) T_{ij}^{t+1} + T_{i,j-\Delta j_2}^{t+1}}{\mu_y (1 + \mu_y) h^2}, \quad (11)$$

(11) можно представить в виде:

$$-w_{ij}^{t+1} = \frac{2}{(1 + \mu_y) h^2} T_{i,j+\Delta j_2}^{t+1} + \frac{-2 - \mu_y h^2}{\mu_y h^2} T_{ij}^{t+1} + \frac{2}{\mu_y (1 + \mu_y) h^2} T_{i,j-\Delta j_2}^{t+1}, \quad (12)$$

При фиксации  $i$ , (12) можно представить в виде СЛАУ. При  $j = \{1, m-1\}$  в СЛАУ будут фигурировать ГУ. От них можно избавиться путем подстановки (6). Такая подстановка влияет либо на коэффициент перед  $w_{ij}^{t+1}$ , либо перед  $T_{ij}^{t+1}$ . Дополнительно можно подставить  $\mu_y = 1$  для  $j = 2..m-2$ .



Результирующая СЛАУ в матричном виде:

$$\begin{bmatrix} \frac{-2-\mu_{y1}h^2}{\mu_{y1}h^2} + \Delta x_1 & \frac{2}{(1+\mu_{y1})h^2} & 0 & 0 & \dots & 0 & 0 & 0 \\ \frac{1}{h^2} & -\frac{2}{h^2} & \frac{1}{h^2} & 0 & \dots & 0 & 0 & 0 \\ 0 & \frac{1}{h^2} & -\frac{2}{h^2} & \frac{1}{h^2} & \dots & 0 & 0 & 0 \\ \vdots & \vdots & \vdots & \vdots & \ddots & \vdots & \vdots & \vdots \\ 0 & 0 & 0 & 0 & \dots & \frac{1}{h^2} & -\frac{2}{h^2} & \frac{1}{h^2} \\ 0 & 0 & 0 & 0 & \dots & 0 & \frac{2}{(1+\mu_{y2})h^2} + \Delta x_2 & \frac{-2-\mu_{y2}h^2}{\mu_{y2}h^2} \end{bmatrix} \begin{bmatrix} T_{i1}^{t+1} \\ T_{i2}^{t+1} \\ T_{i3}^{t+1} \\ \vdots \\ T_{i,m-2}^{t+1} \\ T_{i,n-1}^{t+1} \end{bmatrix} =$$

(13)

$$= \begin{bmatrix} -w_{i1}^{t+1} + \Delta T_3 \\ -w_{i2}^{t+1} \\ -w_{i3}^{t+1} \\ \vdots \\ -w_{i,n-2}^{t+1} \\ -w_{i,m-1}^{t+1} + \Delta T_4 \end{bmatrix},$$

где  $\mu_{y1}$  - отношение расстояния между узлом  $(i, 0)$  и узлом  $(i, 1)$  к  $h$ ;  $\mu_{y2}$  - отношение расстояния между узлом  $(i, m-1)$  и узлом  $(i, m)$  к  $h$ ;

$$\Delta x_1 = \begin{cases} 0, \text{ГУ в } (i, 0) \text{ 1-го рода;} \\ \frac{2}{\mu_{y1}(1+\mu_{y1})h^2}, \text{ГУ в } (i, 0) = (4); \\ \frac{2}{\mu_{y1}(1+\mu_{y1})h^2(\mu_{y1}h+1)}, \text{ГУ в } (i, 0) = (5). \end{cases}, \Delta x_2 = \begin{cases} 0, \text{ГУ в } (i, m) \text{ 1-го рода;} \\ \frac{2}{\mu_{y2}(1+\mu_{y2})h^2}, \text{ГУ в } (i, m) = (4); \\ \frac{2}{\mu_{y2}(1+\mu_{y2})h^2(\mu_{y2}h+1)}, \text{ГУ в } (i, m) = (5). \end{cases},$$

$$\Delta T_3 = \begin{cases} -\frac{100}{\mu_{y1}(1+\mu_{y1})h^2}, \text{ГУ в } (i, 0) : T_{ij}^{t+1} = 100; \\ -\frac{200}{\mu_{y1}(1+\mu_{y1})h^2}, \text{ГУ в } (i, 0) : T_{ij}^{t+1} = 200; \\ 0, \text{в остальных случаях.} \end{cases}, \Delta T_4 = \begin{cases} -\frac{100}{\mu_{y2}(1+\mu_{y2})h^2}, \text{ГУ в } (i, m) : T_{ij}^{t+1} = 100; \\ -\frac{200}{\mu_{y2}(1+\mu_{y2})h^2}, \text{ГУ в } (i, m) : T_{ij}^{t+1} = 200; \\ 0, \text{в остальных случаях.} \end{cases}.$$

В данной СЛАУ при каждом фиксированном  $i$  по  $m-2$  неизвестные. Матрица коэффициентов содержит  $3m-2$  ненулевых элемента.

При решении (13) для всех  $i$  находятся значения во всех внутренних узлах на новом шаге. Для нахождения значений температур в граничных узлах используется формула (6) после вычисления значения во внутренних узлах.

Цикл нахождения повторяется до достижения поставленной задачей времени выполнения.

## 4 Описание структуры программы

Для выполнения поставленной задачи реализованы следующие классы:

1. Point - класс точки;
2. Form - класс геометрической формы;
3. EdgeCondition - класс граничного условия;
4. Rectangle - класс прямоугольника;

5. Circle - класс круга;
6. Node - класс внутренних узлов;
7. EdgeNode - класс граничных узлов;
8. Object - класс пластины.

Диаграмма взаимодействия классов представлена на рис. 2 и рис. 3.

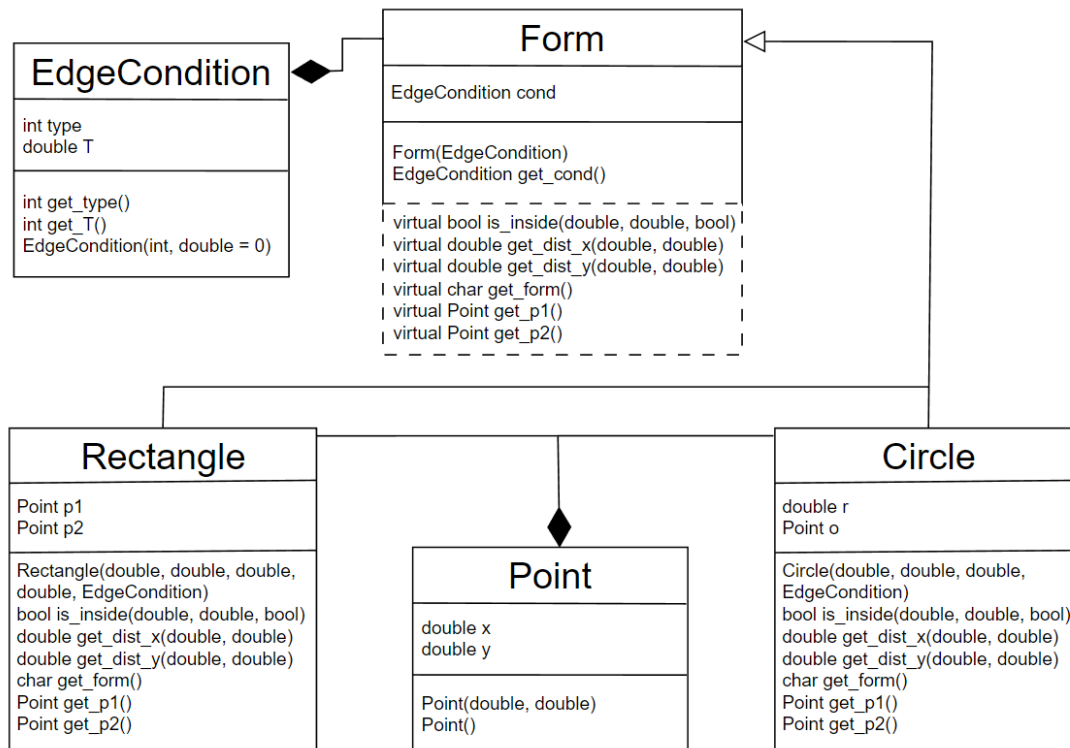


Рис. 2. Диаграмма взаимодействия классов 1

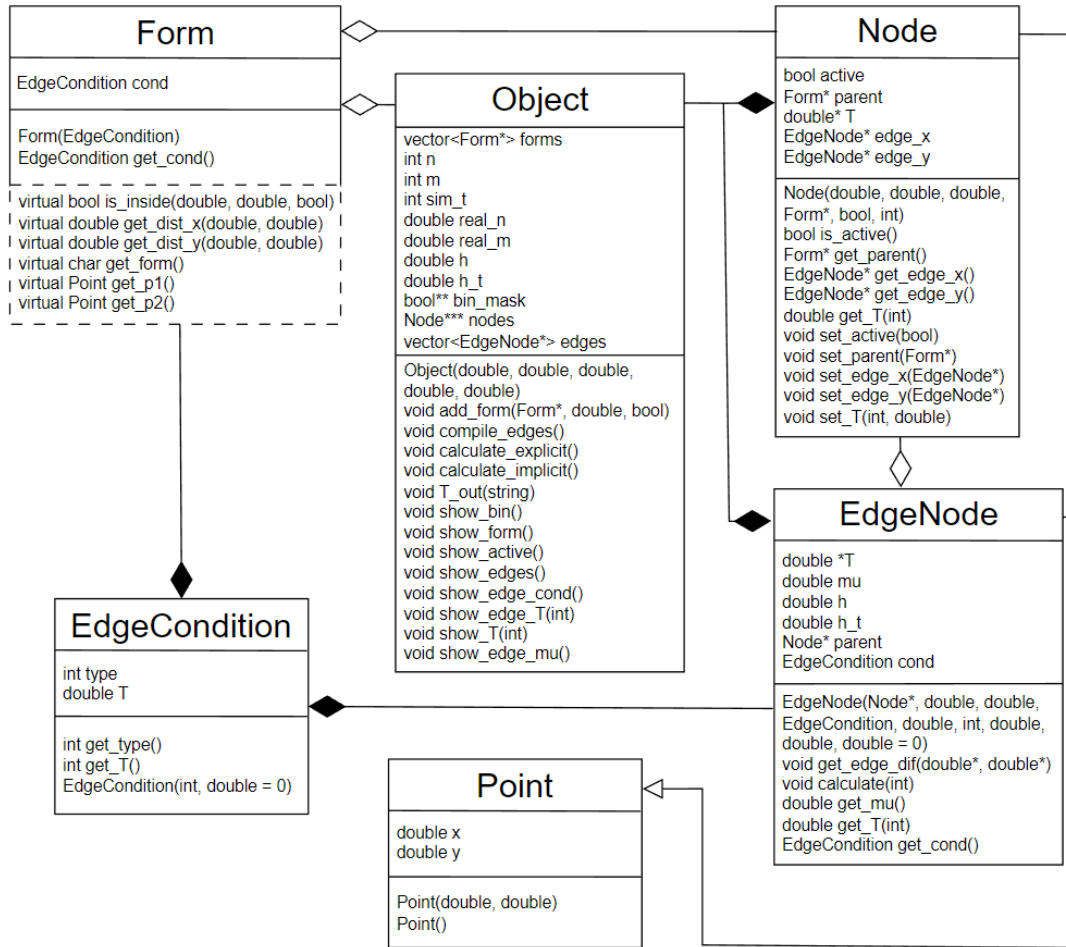


Рис. 3. Диаграмма взаимодействия классов 2

В начале работы создаются объекты класса пластины и объекты классов прямоугольников и кругов, из которых формируется пластина путем добавления или вычитания. Граничные условия на границах прямых пластины также задаются прямоугольниками нулевой толщины. Созданная геометрия добавляется в пластину методом `Object::add_form`. При этом в пластине создаются узлы на пересечении геометрической формы, не включая границы в добавленных геометрических фигурах, и точек  $(ih, jh), i = 1..n, j = 1..m$ .

После для добавления в модель пластины граничных узлов и удаления узлов, слишком близких к одной из границ пластины, вызывается метод `Object::compile_edges`. Температура в слишком близких к одной из границ пластины узлах рассчитываются не верно, так что они начинают считаться отверстиями. Дополнительно вычисляются  $mu_x$  и  $mu_y$  в элементах.

Затем запускаются методы `Object::calculate_explicit` для вычисления значений в узлах явным методом, описанным выше. Значения выводятся в файл методом `Object::T_out`. Запуск метода `Object::calculate_implicit` вычисляет значения температур в уз-

лах явным методом, описанным выше. После значения выводятся в файл методом `Object::T_out`.

## 5 Результат работы программы

Вариант данной работы 8-й. Отверстие - окружность. Координаты центра отверстия: (355, 155). В таблице 1 граничным условиям соответствует 9-я строка.

Результат моделирования в ANSYS представлен на рис. ??.

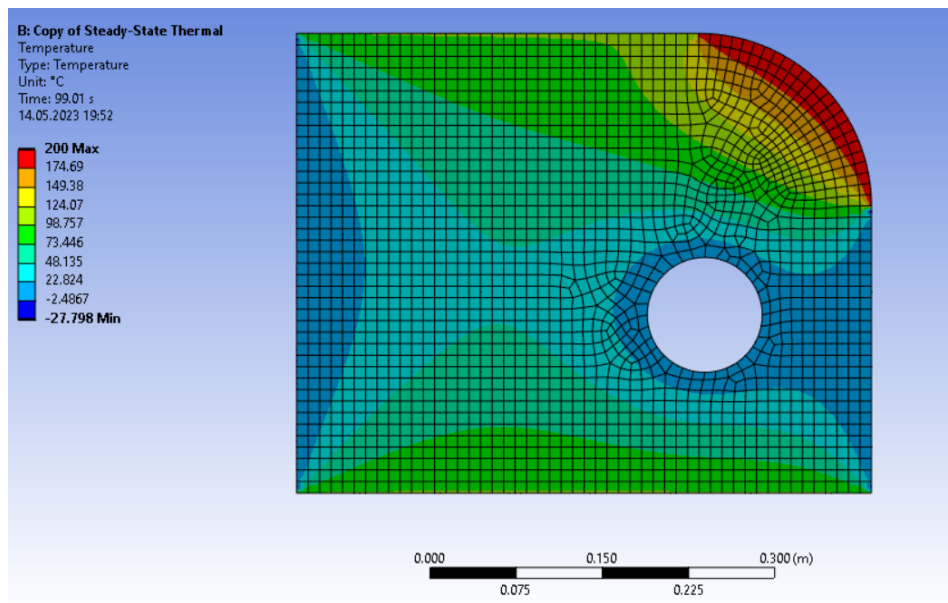


Рис. 4. Визуализация результата явного метода при  $h = 10$

Результат выполнения программы при  $h = 10$  явным методом представлен на рис. 5.

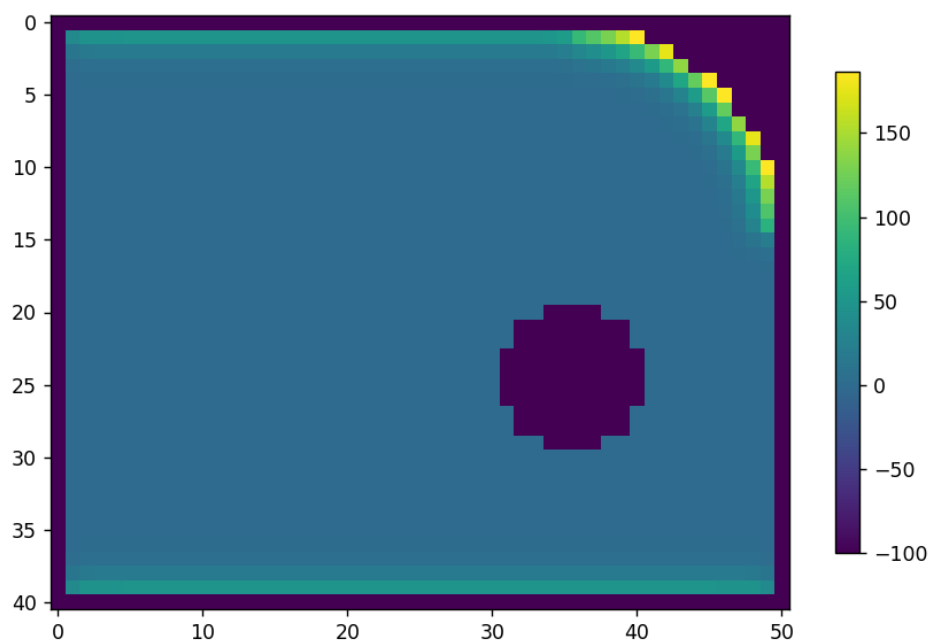


Рис. 5. Визуализация результата явного метода при  $h = 10$

Результат выполнения программы при  $h = 5$  явным методом представлен на рис. 6.

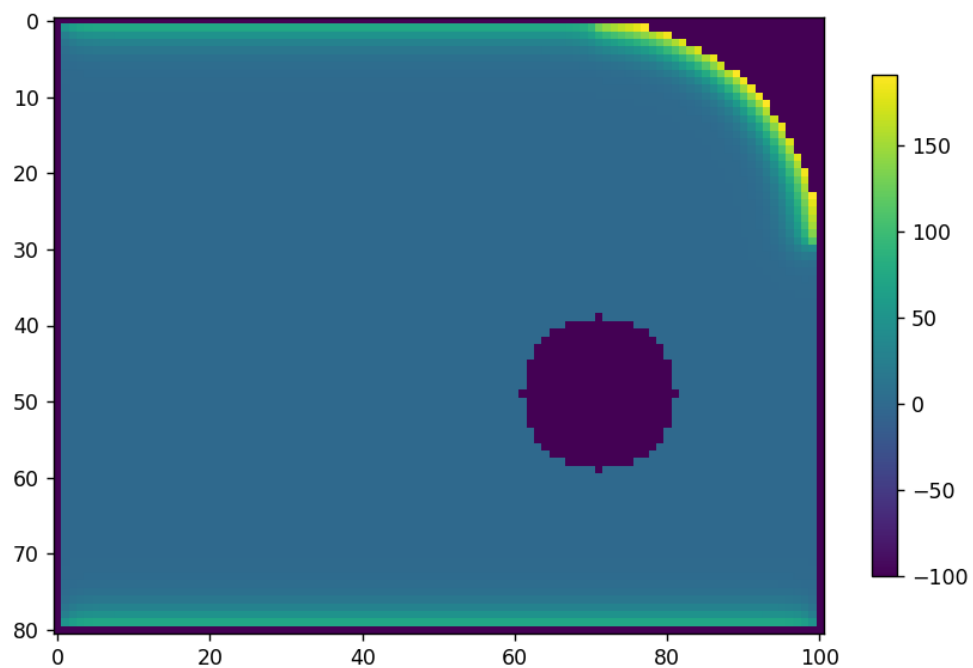


Рис. 6. Визуализация результата явного метода при  $h = 5$

Результат выполнения программы при  $h = 10$  неявным методом представлен на

рис. 7.

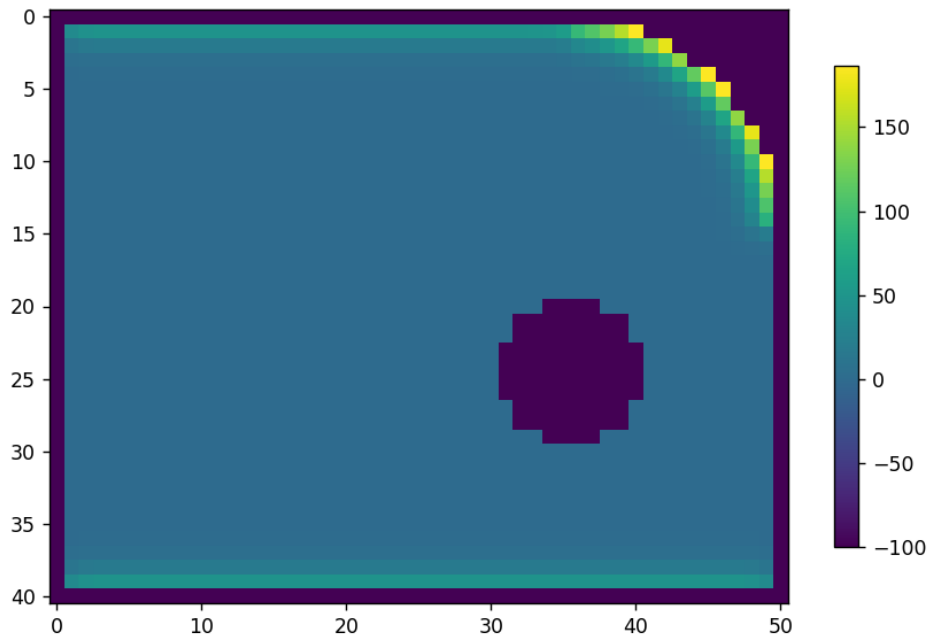


Рис. 7. Визуализация результата неявного метода при  $h = 10$

Результат выполнения программы при  $h = 5$  неявным методом представлен на рис. 8.

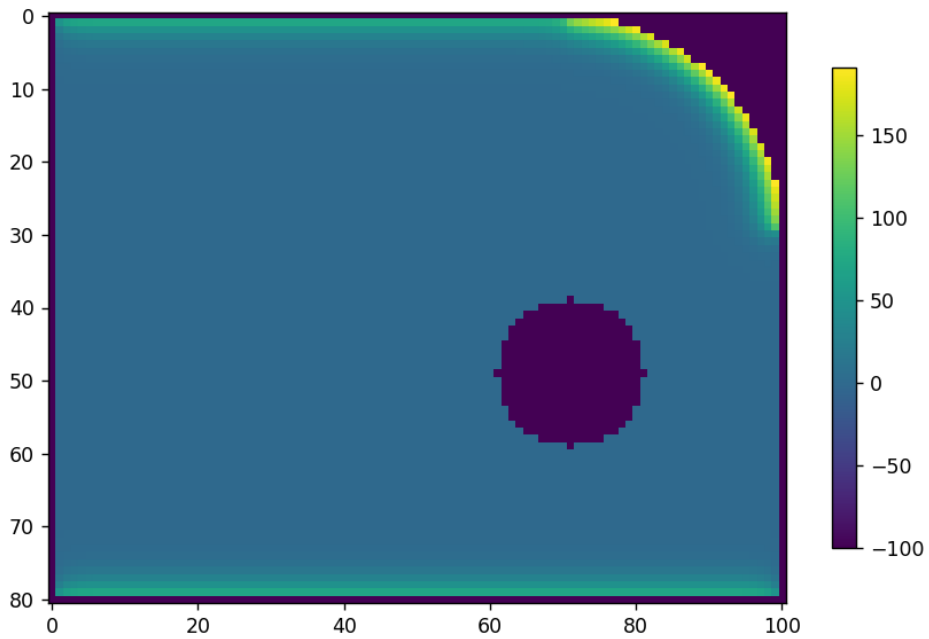




Рис. 8. Визуализация результата неявного метода при  $h = 5$

Результаты моделирования сходятся не очень сильно, так как в ANSYS заданы не соответствующие параметры пластины. Граничные узлы также не изображены в программной реализации.

## 6 Заключение

Программно реализованы явный и неявный МКР на языке C++. Построена модель в ANSYS и проведено сравнение с результатом выполнения программы.

Постановка:		<i>доцент кафедры РК-6, PhD А.Ю. Першин</i>
Решение и вёрстка:		<i>студент группы РК6-66Б, Кильдишев П.С.</i>

*2023, весенний семестр*